

TEST REPORT

No. 24065SEG-03CA24145

Sprawozdanie Z Badań Nie. 24065SEG-03CA24145

Reverberation rooms – Sound test

(Pomieszczenia pogłosowe – Próba dźwięku)

Amaro, 2024/07/24

Customer: Klient:	Hymon Fotowoltaika Sp z o.o. ul. Dojazd 16A 33-100 Tarnów (PL)
Testing location: Miejsce testowania:	Local Unit Udine HVACR Testing I – 33020 Amaro (UD) Via J. Linussio, 1
Unit under test: Jednostka poddana próbie:	Air to water heat pump
Manufacturer: Producent:	BLAUPUNKT
Model: Model:	BLP12P3V2MR32
Serial number: Numer seryjny:	KRZK09A203008-503237
Date of reception of unit: Data odbioru jednostki:	2024/05/22
Date of test – beginning: Data badania – rozpoczęcie:	2024/07/12
Date of test – finish: Data badania – zakończenie:	2024/07/12
Type of test: Rodzaj badania:	Sound power measurement (Pomiar mocy akustycznej)
Power Source: Źródło zasilania:	3Ph+N; 400[V]; 50[Hz]
Dimensions: Wymiary:	L(1105) H(810) W(420) [mm]
Year of manufacture: Rok produkcji:	2022

Reference documents (Dokumenty źródłowe):

- EN ISO 3741:2010 – Determination of sound power levels and sound energy levels of noise sources using sound pressure – Precision methods for reverberation test rooms –;
- EN 12102-1: 2022 – Air conditioners, liquid chilling packages, heat pumps, process chillers and dehumidifiers with electrically driven compressors –Determination of the sound power level – Part 1: Air conditioners, liquid chilling packages, heat pumps for space heating and cooling, dehumidifiers and process chillers

The results presented in this report are valid only for the tested unit.

Wyniki przedstawione w niniejszym raporcie są ważne tylko dla testowanego urządzenia.

Executed by Lab Production Manager

Michele Gracco – IMQ | Local Unit Udine

Approved by Local Unit Manager

Marco Malambrì – IMQ | Local Unit Udine

The tested unit has been chosen by the customer/manufacturer. The results apply to the sample as received. This report consists of 20 pages. Any reproduction of this report must contain all pages. Any other partial reproduction of this document must be authorised by IMQ.

Testowane urządzenie zostało wybrane przez klienta/producenta. Wyniki odnoszą się do otrzymanej próbki. Sprawozdanie to składa się z: 20 Stron. Każda reprodukcja tego raportu musi zawierać wszystkie strony. Wszelkie inne częściowe powielanie tego dokumentu musi być autoryzowane przez IMQ.

CONTENTS

1. PURPOSE OF THE TEST (CEL BADANIA)	3
2. TECHNICAL DESCRIPTION (OPIS TECHNICZNY)	3
2.1. Reverberation Rooms (Pomieszczenia pogłosowe)	3
2.2. Test operating conditions (Testowe warunki pracy)	4
2.3. Instrumentation (Instrumentacja)	4
2.4. Uncertainty of measurement (Niepewność pomiaru)	6
3. SOUND POWER LEVEL CALCULATION – COMPARISON METHOD (OBLCZANIE POZIOMU MOCY AKUSTYCZNEJ – METODA PORÓWNAWCZA)	8
4. INSTALLATION OF UNIT UNDER TEST (INSTALACJA BADANEGO URZĄDZENIA)	9
5. TEST CONDITIONS (WARUNKI BADANIA)	11
6. TEST RESULTS: TABLES (WYNIKI TESTÓW: TABELE)	12
6.1. Low temperature (Niska temperatura)	12
6.1.1. Sound pressure levels measured in the reverberation room (Poziomy ciśnienia akustycznego mierzone w pomieszczeniu pogłosowym)	12
6.1.2. Sound pressure levels with background noise correction in the room (Poziomy ciśnienia akustycznego z korekcją szumów tła w pomieszczeniu)	13
6.1.3. Sound power levels of reference sound source (Poziomy mocy akustycznej referencyjnego źródła dźwięku)	14
6.1.4. Sound power levels of unit under test (Poziom mocy akustycznej badanej pompy ciepłej)	15
6.2. Medium temperature (Średnia temperatura)	16
6.2.1. Sound pressure levels measured in the reverberation room (Poziomy ciśnienia akustycznego mierzone w pomieszczeniu pogłosowym)	16
6.2.2. Sound pressure levels with background noise correction in the room (Poziomy ciśnienia akustycznego z korekcją szumów tła w pomieszczeniu)	17
6.2.3. Sound power levels of reference sound source (Poziomy mocy akustycznej referencyjnego źródła dźwięku)	18
6.2.4. Sound power levels of unit under test (Poziom mocy akustycznej badanej pompy ciepłej)	19
7. SOUND POWER LEVELS SPECTRUM (SPEKTRUM POZIOMÓW MOCY AKUSTYCZNEJ)	20
7.1. Low temperature: Sound Power levels (Niska temperatura: poziomy mocy akustycznej)	20
7.2. Medium temperature: Sound Power levels (Średnia temperatura: poziomy mocy akustycznej) ..	20

1. PURPOSE OF THE TEST (CEL BADANIA)

The purpose of the test is to measure the sound power levels of the unit using comparison method as defined in EN ISO 3741:2010; operating conditions, installation and function modes for the unit under test are in compliance with EN 12102-1: 2022.

Sound power levels are reported in one third octave frequency bands. At last is reported the A-weighted sound power level for the range of interest of frequencies between 100 to 10000 Hz.

Celem badania jest pomiar poziomów mocy akustycznej jednostki przy użyciu metody porównawczej określonej w EN ISO 3741:2010; warunki pracy, tryby instalacji i działania badanego urządzenia są zgodne z EN 12102-1: 2022. Poziomy mocy akustycznej są podawane w pasmach częstotliwości tercjowych. Na koniec podano ważony krzywą korekcyjną A poziom mocy akustycznej dla interesującego nas zakresu częstotliwości od 100 do 10000 Hz.

2. TECHNICAL DESCRIPTION (OPIS TECHNICZNY)

2.1. Reverberation Rooms (Pomieszczenia pogłosowe)

The test chambers are two reverberation rooms with symmetrical layout. The nominal volume is approximately of 204 m³ and the internal surface of 226 m² for each room. Detailed dimensions for one room are:

- Length: 9 m
- Width: 5 m
- Height: 4,5 m

To achieve a sound field as much as possible diffuse, rooms are asymmetric with surfaces that are not parallel to each other and painted with primer and polish reflective insulation, the floor is covered with type "clinker" reflective tiles. The soundproofing of the rooms is ensured by a double shell and spring elastic suspension of the inner chambers.

Komory badawcze to dwa pomieszczenia pogłosowe o symetrycznym układzie. Kubatura nominalna wynosi około 204 m³, a powierzchnia wewnętrzna 226 m² dla każdego pomieszczenia. Szczegółowe wymiary dla jednego pomieszczenia to:

- Długość: 9 m
- Szerokość: 5 m
- Wysokość: 4,5 m

Aby uzyskać jak najbardziej rozproszone pole dźwiękowe, pomieszczenia są asymetryczne z powierzchniami, które nie są równoległe do siebie i pomalowane podkładem i polerowaną izolacją odblaskową, podłoga pokryta jest płytami odblaskowymi typu "klinkier". Izolację akustyczną pomieszczeń zapewnia podwójna powłoka i sprężynowe elastyczne zawieszenie komór wewnętrznych.

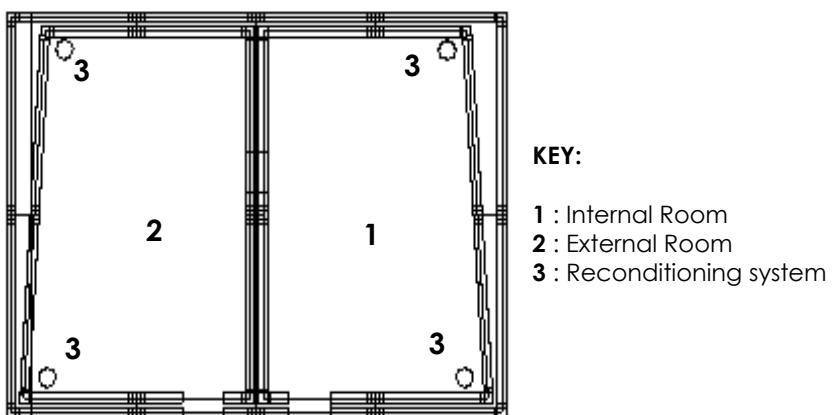


Figure 1 - Diagram of the two reverberation rooms (Rysunek 1- Schemat dwóch pomieszczeń pogłosowych).

2.2. Test operating conditions (Testowe warunki pracy)

Climatic test conditions (temperature, humidity and pressure) imposed by the following standards:

- EN ISO 3741:2010 – Determination of sound power levels and sound energy levels of noise sources using sound pressure – Precision methods for reverberation test rooms –
- EN 12102-1: 2022 – Air conditioners, liquid chilling packages, heat pumps, process chillers and dehumidifiers with electrically driven compressors –Determination of the sound power level

are aimed and maintained for all the duration of the test through a soundproof system of ventilation/air conditioning; it consists of a recovery plant enslaved to a central air treatment with heat exchangers equipment that allow quick and fine adjustment with independent software control. To this purpose, the system communicates with the rooms through the ducts represented in Figure 1.

Klimatyczne warunki testowe (temperatura, wilgotność i ciśnienie) narzucone przez następujące normy:

- EN ISO 3741:2010 – Determination of sound power levels and sound energy levels of noise sources using sound pressure – Precision methods for reverberation test rooms –
- EN 12102-1: 2022 – Air conditioners, liquid chilling packages, heat pumps, process chillers and dehumidifiers with electrically driven compressors –Determination of the sound power level

są uklorkowane i utrzymanyane przez cały czas trwania badania za pomocą dźwiękoszczelnego systemu wentylacji/klimatyzacji; Składa się z instalacji odzysku zniewolonej centralnemu uzdatnianiu powietrza z wymiennikami ciepła, które umożliwiają szybką i precyzyjną regulację za pomocą niezależnego sterowania programowego. W tym celu system komunikuje się z pomieszczeniami za pośrednictwem kanałów przedstawionych na rysunku 1.

2.3. Instrumentation (Instrumentacja)

Acoustic Instruments (Instrumenty akustyczne)				Calibration (Wzorcowanie)	
Description	Code	Model	Serial number	Place	Date
Acoustic calibrator	CAcal03	Brüel & Kjaer 4231	3029303	DANAK CAL Reg. No. 307	05/10/2023
Microphone measurement chain room 2	Diffuse-field microphone class 1 precision	CA05	Larson & Davis 2560	LAT 163 Italy	18/03/2024
	Microphone pre-amplifier	CA07	Larson & Davis 900C		
	Real-time spectrum analyser	CA04	Larson & Davis 2900B		
Reference sound source	CA03	G&G Acoustic50A1	112	SP Sweden	20/03/2024
Acquisition software	CA55	N&V Works	Release 2.10.4.410	n.a.	n.a.
Data Logger	-	IRS Acustica	Ver. 1.0.0.4	n.a.	n.a.
Rotating booms	CA16	Brüel & Kjaer 3923	2358244	n.a.	n.a.
	CA17	Brüel & Kjaer 3923	2358245	n.a.	n.a.

Acoustic calibrator is verified to satisfy the requirements of CEI EN 60942: 2004.

Acoustic calibrator is used to calibrate every microphone measurement chain using a pure tone with amplitude of 114 dB at frequency of 1000 Hz; the results of these calibration are in compliance to reference documentation.

Reference sound source is verified to fully satisfy compliance to ISO 6926: 2016.

Both microphone measurement chains are verified to fully satisfy compliance to CEI 29-30, IEC 651 and IEC 804.

The one third octave frequency band average value of sound pressure level is determined following criteria described in section 8.3 of EN ISO 3741:2010: in every room a rotating boom is used; the microphone path length is 10,3 meters; it is circular and it doesn't lay in a plane that is parallel to room walls/floor ($\pm 10^\circ$).

Spectrum data are recorded with the real-time spectrum analyzer that is able to carry out frequency analysis of sound pressure levels with one third octave frequency band sampling. Processing of spectrum data for the frequency range of interest (100 Hz to 10000 Hz) is done with N&V Works software that calculates average sound pressure level, sound power level and A-weighted sound power level.

Kalibrator akustyczny został zweryfikowany pod kątem spełnienia wymagań CEI EN 60942:2004.

Kalibrator akustyczny służy do kalibracji każdego łańcucha pomiarowego mikrofonu przy użyciu czystego tonu o amplitudzie 114 dB przy częstotliwości 1000 Hz; Wyniki tych kalibracji są zgodne z dokumentacją referencyjną.

Referencyjne źródło dźwięku zostało zweryfikowane pod kątem pełnej zgodności z normą ISO 6926: 2016.

Oba łańcuchy pomiarowe mikrofonów zostały zweryfikowane pod kątem pełnej zgodności z CEI 29-30, IEC 651 i IEC 804.

Średnia wartość poziomu ciśnienia akustycznego w paśmie częstotliwości tercjowej jest określana zgodnie z kryteriami opisanymi w sekcji 8.3 EN ISO 3741:2010: w każdym pomieszczeniu stosowany jest obrotowy wysięgnik; długość ścieżki mikrofonu wynosi 10,3 metra; jest okrągły i nie układają się w płaszczyźnie równoległej do ścian/podłogi pomieszczenia ($\pm 10^\circ$).

Dane widma są rejestrowane za pomocą analizatora widma w czasie rzeczywistym, który jest w stanie przeprowadzić analizę częstotliwości poziomów ciśnienia akustycznego z próbkowaniem pasma częstotliwości tercjowej. Przetwarzanie danych widmowych dla interesującego nas zakresu częstotliwości (od 100 Hz do 10000 Hz) odbywa się za pomocą oprogramowania N&V Works, które oblicza średni poziom ciśnienia akustycznego, poziom mocy akustycznej i poziom mocy akustycznej ważony A.

Instrumentation for electrical, climatic and working condition measurements consists of:
Oprzyrządowanie do pomiarów elektrycznych, klimatycznych i warunków pracy składa się z:

Thermoelectrical Instruments (Przyrządy termoelektryczne)				
Measured parameter		Code	Model	Serial number
Electrical parameters		LAB50	Wattmeter Yokogawa WT333E	C3UK24011E
Air	Dry-bulb temperature	CA1-PT1 CA2-PT1 CA1-TC1,...	Platinum RTD Thermocouple	n.a. nap
	Humidity	CA1-RH CA2-RH	Michel PC52	371709 371707
	Static pressure difference	CA1-DpARIA, CA2-DpARIA	HALSTRUP WALKER P34-4-500Pa-2-0-A-0	BK131229 BK131230
	Atmospheric pressure	TV_PAMB2500	VAISALA PTB101C	Y4530017
	Temperature	CA1-TC1,CA1-TC2	Thermocouple	N.a.
Rotational speed		LAB25	Monarch Instruments Phaser strobe Nova-strobe	2434621

2.4. Uncertainty of measurement (Niepewność pomiaru)

The values of expanded uncertainty of measurement in the frequencies range of interest are obtained in compliance to the internal procedure PR-02/Clima, multiplying the standard uncertainty by a coverage factor k=2, providing a level of confidence of approximately 95%.

Wartości niepewności rozszerzonej pomiaru w interesującym nas zakresie częstotliwości uzyskuje się zgodnie z procedurą wewnętrzną PR-02/Clima, mnożąc niepewność standardową przez współczynnik rozszerzenia k=2, co daje poziom ufności około 95%.

Centre band frequency (Częstotliwość pasma środkowego)	U₂
Hz	dB
100	2,3
125	2,3
160	2,3
200	2,2
250	2,2
315	2,2
400	2,1
500	2,1
630	2,1
800	2,1
1000	2,1
1250	2,1
1600	2,1
2000	2,1
2500	2,1
3150	2,2
4000	2,2
5000	2,2
6300	2,2
8000	2,2
10000	2,2
(A)	1,3

U₂: expanded uncertainty for channel 2.

U₂: rozszerzona niepewność dla kanału 2.

The upper limits of measurement uncertainty for thermoelectrical parameters are the following ones:

Górne granice niepewności pomiaru parametrów termoelektrycznych są następujące:

Measured quantity (Zmierzona ilość)	Uncertainty of measurement (Niepewność pomiaru)
Electrical quantities (Wielkości elektryczne)	Power (Moc) $\pm 1\%$
	Voltage (Napięcie) $\pm 1\%$
	Current (Aktualny) $\pm 0,5\%$
Air (Powietrze)	Dry bulb temperature (Temperatura termometru suchego) $\pm 0,5\text{ K}$
	Wet bulb temperature (Temperatura termometru mokrego) $\pm 0,8\text{ K}$
	Static pressure difference (Różnica ciśnień statycznych) $\pm 8\% (\Delta p > 100\text{ Pa})$
	$\pm 8\text{ Pa} (\Delta p \leq 100\text{ Pa})$
Liquid / brine (Ciecz / solanka)	Temperature (Temperatura) $\pm 0,3\text{ K}$
	Flow rate (Przepływ) $\pm 3\%$

The values reported above satisfy the requirements of EN 12102-1: 2022 § 5.

Podane powyżej wartości spełniają wymagania normy EN 12102-1:2022 § 5.

3. SOUND POWER LEVEL CALCULATION – COMPARISON METHOD (OBLCZANIE POZIOMU MOCY AKUSTYCZNEJ – METODA PORÓWNAWCZA)

Beginning from sound pressure levels spectrum, the sound power levels are calculated using the **comparison method** in compliance with the standard *EN ISO 3741:2010 – Determination of sound power levels and sound energy levels of noise sources using sound pressure – Precision methods for reverberation test rooms –*.

With this method the calculation of one third octave band sound power level is based on the equation:

Począwszy od widma poziomów ciśnienia akustycznego, poziomy mocy akustycznej oblicza się metodą porównawczą zgodnie z normą *EN ISO 3741:2010 – Determination of sound power levels and sound energy levels of noise sources using sound pressure – Precision methods for reverberation test rooms –*.

W przypadku tej metody obliczenie poziomu mocy akustycznej w paśmie tercjowym opiera się na równaniu:

$$L_w = L_{WR} + (L_p - L_{PR}) + C_2$$

where, for every single one third octave frequency (gdzie, dla każdej częstotliwości tercjowej)

L_w is the sound power level (dB) of unit under test

L_{WR} is the sound power level (dB) of reference sound source

L_p is the sound pressure level (dB) of unit under test

L_{PR} is the sound pressure level (dB) of reference sound source

and C_2 is equal to $-10 \cdot \lg \frac{p_s}{p_{s0}} dB + 15 \cdot \lg \frac{p_s}{p_{s0}} \left[\frac{273,15 + t}{t_1} \right] dB$

where:

p_s is the atmospheric pressure (kPa), inside reverberation room during tests

p_{s0} is the reference atmospheric pressure value, equal to 101,325 kPa

t is the air temperature inside the reverberation room during tests ($^{\circ}\text{C}$ – Celsius degrees)

t_1 is the reference temperature and its value is 296 K.

A-weighted sound power level for each one third octave frequency band is calculated in compliance to standard above mentioned. Frequency range of interest comprise all one third octave frequency bands from 100 Hz to 10000 Hz.

Poziom mocy akustycznej skorygowany krzywą korekcyjną A dla każdego pasma częstotliwości tercjowej oblicza się zgodnie z wyżej wymienioną normą. Interesujący nas zakres częstotliwości obejmuje wszystkie pasma częstotliwości tercjowej od 100 Hz do 10000 Hz.

4. INSTALLATION OF UNIT UNDER TEST (INSTALACJA BADANEGO URZĄDZENIA)

The unit and the microphone booms are installed in the reverberation rooms in accordance with EN ISO 3741:2010 and in compliance to EN 12102-1: 2022 about unit installation and working conditions. The inverter frequency was set according to manufacturer/customer instructions; the validity of the corresponding test results can be affected; IMQ declines any responsibility derived from missing or wrong information.

Moreover the unit is installed and connected as recommended by manufacturer in its installation and operation manual, according to the requirements of EN 14511-3: 2022.

In detail:

Urządzenie i wisierniki mikrofonowe są instalowane w pomieszczeniach pogłosowych zgodnie z EN ISO 3741:2010 oraz zgodnie z EN 12102-1: 2022 o instalacji urządzenia i warunkach pracy. Częstotliwość falownika została ustawiona zgodnie z instrukcjami producenta/klienta; może to mieć wpływ na ważność odpowiednich wyników badań; IMQ nie ponosi żadnej odpowiedzialności wynikającej z brakujących lub błędnych informacji.

Ponadto urządzenie jest instalowane i podłączane zgodnie z zaleceniami producenta zawartymi w instrukcji montażu i obsługi, zgodnie z wymaganiami EN 14511-3: 2022.

W szczegółach:

- The external unit was placed at 150 cm from partition wall of the two rooms.
Jednostka zewnętrzna została umieszczona w odległości 150 cm od ściany działowej obu pomieszczeń.

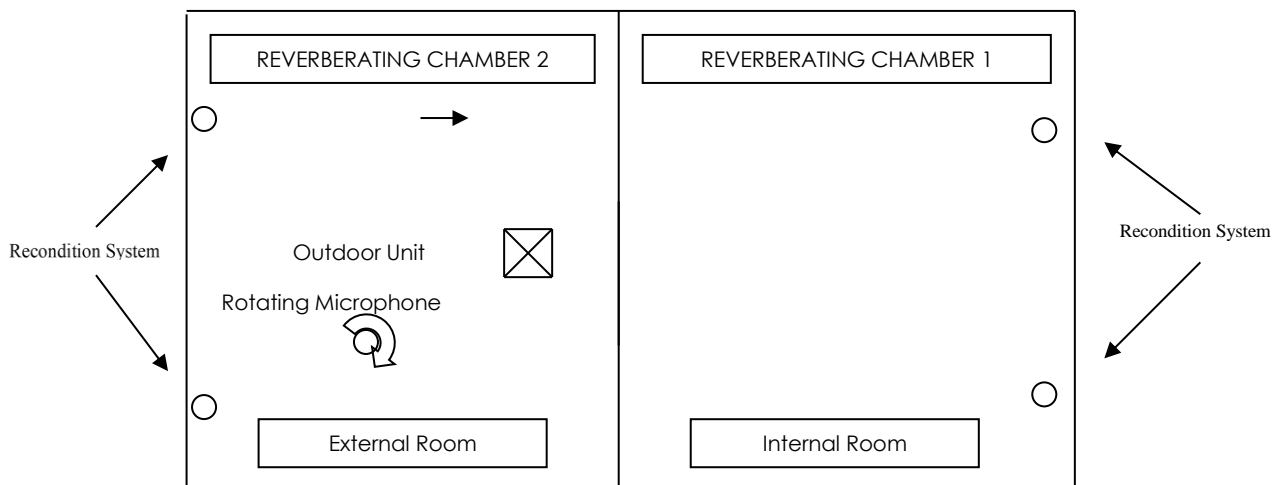


Figure 2 - Schematic installation of the unit (Rysunek 2 - Schemat instalacji urządzenia).



Figure 3 - Panoramic of installation in the room (Rysunek 3 - Panoramiczny montaż w pomieszczeniu).

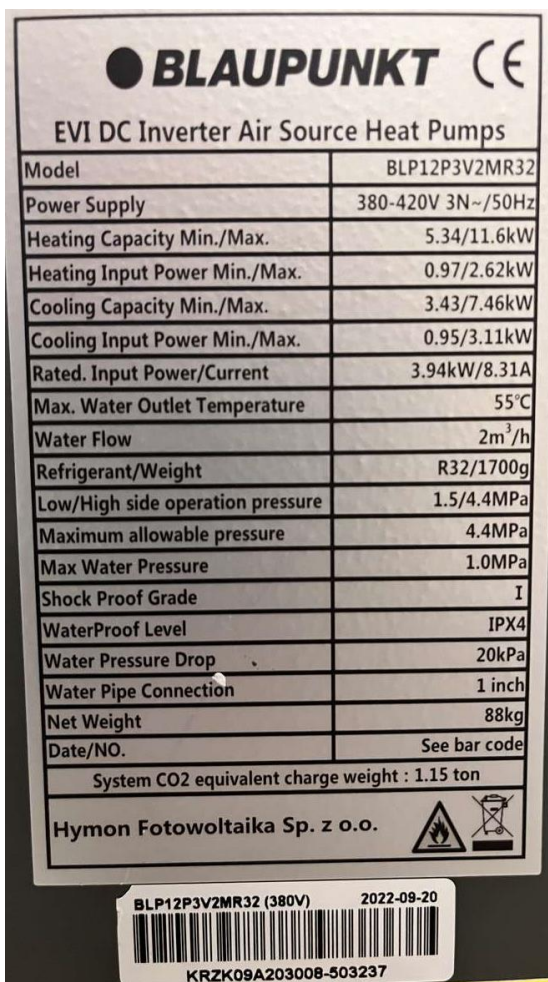


Figure 4 - Unit label (Rysunek 4 - Etykieta jednostki).

5. TEST CONDITIONS (WARUNKI BADANIA)

Climatic conditions and power supply of unit under test are the following:

Warunki klimatyczne i zasilanie badanego bloku są następujące:

TEST CHAMBER (KOMORA TESTOWA)		
	Low temp. Niska temp.	Medium temp. Średnia temp.
Dry bulb temperature (°C) – External Room Temperatura termometru suchego (°C) – pomieszczenie zewnętrzne	7,70	8,99
Relative humidity (RH%) – External Room Wilgotność względna (RH%) – pomieszczenie zewnętrzne	93	95
Water temperature (°C) – Inlet Temperatura wody (°C) - Wlot	30,70	47,81
Water temperature (°C) – Outlet Temperatura wody (°C) - Wyłot	35,08	54,68
Atmospheric pressure (kPa) Ciśnienie atmosferyczne (kPa)	98,16	
Voltage 1(V) Napięcie 1(V)	230,4	230,3
Voltage 2(V) Napięcie 2(V)	230,4	230,3
Voltage 3(V) Napięcie 3(V)	230,6	230,5
Current 1(A) Prąd 1(A)	2,046	3,069
Current 2(A) Prąd 2(A)	1,9858	2,961
Current 3(A) Prąd 3(A)	2,237	3,201
Total power input (W) Całkowity pobór mocy (W)	990,6	1584
Outdoor unit RPM Obroty jednostki zewnętrznej	604,0	494,0
Compressor setting (Hz) Ustawienie sprężarki (Hz)	30	30

Note:

Test conditions are controlled and are in compliance to EN14511-2:2022 specified on EN 12102-1: 2022 – Air conditioners, liquid chilling packages, heat pumps, process chillers and dehumidifiers with electrically driven compressors –Determination of the sound power level.

Nota:

Warunki badania są kontrolowane i zgodne z EN14511-2:2022 specified on EN 12102-1: 2022 – Air conditioners, liquid chilling packages, heat pumps, process chillers and dehumidifiers with electrically driven compressors –Determination of the sound power level.

6. TEST RESULTS: TABLES (WYNIKI TESTÓW: TABELE)

6.1. Low temperature (Niska temperatura)

6.1.1. Sound pressure levels measured in the reverberation room (Poziomy ciśnienia akustycznego mierzone w pomieszczeniu pogłosowym)

Frequency Częstotliwość	Unit Under Test Jednostka w trakcie testu	Background Noise Hałas w tle	Reference sound source Referencyjne źródło dźwięku
Hz	dB	dB	dB
100	52,6	26,9	66,3
125	51,9	19,8	68,7
160	49,6	26,1	67,0
200	50,0	18,1	66,1
250	49,8	15,1	67,9
315	51,5	12,7	68,8
400	51,5	9,1	69,1
500	49,7	6,0	71,3
630	48,1	10,3	73,3
800	46,9	9,2	74,7
1000	46,0	5,0	75,1
1250	44,3	4,0	74,8
1600	42,6	5,3	74,9
2000	42,3	6,3	73,9
2500	40,1	5,4	72,2
3150	36,7	5,4	70,2
4000	36,4	6,4	68,5
5000	30,7	7,1	66,8
6300	29,4	8,1	66,5
8000	27,4	8,7	65,1
10000	30,2	8,7	62,1
L _p	60,9	30,7	84,3
L _{pa}	55,7	20,4	83,9

L_p: global sound pressure level (dB)

L_{pa}: A-weighted global sound pressure level (dBA)

6.1.2. Sound pressure levels with background noise correction in the room (Poziomy ciśnienia akustycznego z korekcją szumów tła w pomieszczeniu)

Frequency Częstotliwość	K ₁	Corrected sound pressure Skorygowane ciśnienie akustyczne
Hz	dB	dB
100	0,0	52,6
125	0,0	51,9
160	0,0	49,6
200	0,0	50,0
250	0,0	49,8
315	0,0	51,5
400	0,0	51,5
500	0,0	49,7
630	0,0	48,1
800	0,0	46,9
1000	0,0	46,0
1250	0,0	44,3
1600	0,0	42,6
2000	0,0	42,3
2500	0,0	40,1
3150	0,0	36,7
4000	0,0	36,4
5000	0,0	30,7
6300	0,0	29,4
8000	0,0	27,4
10000	0,0	30,2
L _p	--	60,9
L _{pa}	--	55,7

L_p: global sound pressure level (dB)

L_{pa}: A-weighted global sound pressure level (dBA)

Error B.G./Invalid: difference between sound pressure of unit under test and background noise doesn't satisfy the requirements of EN ISO 3741:2010

6.1.3. Sound power levels of reference sound source (*Poziomy mocy akustycznej referencyjnego źródła dźwięku*)

Frequency Częstotliwość	Reference sound source Referencyjne źródło dźwięku
Hz	dB
100	73,4
125	73,0
160	72,0
200	71,8
250	71,7
315	73,1
400	72,9
500	74,3
630	76,3
800	77,6
1000	78,1
1250	77,5
1600	77,3
2000	76,5
2500	74,9
3150	73,6
4000	73,0
5000	72,5
6300	72,7
8000	72,9
10000	72,3
Lw	87,9
Lwa	87,1

Lw: global sound power level (dB ref. 1 pW)

Lwa: A-weighted global sound power level (dBA)

6.1.4. Sound power levels of unit under test (*Poziom mocy akustycznej badanej pompy ciepła*)

Frequency Częstotliwość	Outdoor Unit Jednostka zewnętrzna
Hz	dB
100	59,5
125	56,0
160	54,4
200	55,5
250	53,4
315	55,6
400	55,1
500	52,5
630	50,9
800	49,6
1000	48,8
1250	46,8
1600	44,8
2000	44,7
2500	42,6
3150	39,9
4000	40,7
5000	36,2
6300	35,4
8000	35,0
10000	40,2
Lw	65,3
Lwa	58,9

Lw: global sound power level (dB ref. 1 pW)

Lwa: A-weighted global sound power level (dBA)

Invalid: difference between sound pressure of unit under test and background noise doesn't satisfy the requirements of EN ISO 3741:2010

6.2. Medium temperature (Średnia temperatura)

6.2.1. Sound pressure levels measured in the reverberation room (Poziomy ciśnienia akustycznego mierzone w pomieszczeniu pogłosowym)

Frequency Częstotliwość	Unit Under Test Jednostka w trakcie testu	Background Noise Hałas w tle	Reference sound source Referencyjne źródło dźwięku
Hz	dB	dB	dB
100	42,4	26,9	66,3
125	47,0	19,8	68,7
160	44,9	26,1	67,0
200	46,1	18,1	66,1
250	48,9	15,1	67,9
315	51,4	12,7	68,8
400	56,5	9,1	69,1
500	47,9	6,0	71,3
630	42,7	10,3	73,3
800	43,7	9,2	74,7
1000	43,2	5,0	75,1
1250	42,3	4,0	74,8
1600	40,1	5,3	74,9
2000	35,0	6,3	73,9
2500	34,1	5,4	72,2
3150	30,4	5,4	70,2
4000	30,2	6,4	68,5
5000	27,0	7,1	66,8
6300	28,9	8,1	66,5
8000	33,2	8,7	65,1
10000	33,4	8,7	62,1
L _p	59,8	30,7	84,3
L _{pa}	55,0	20,4	83,9

L_p: global sound pressure level (dB)

L_{pa}: A-weighted global sound pressure level (dBA)

6.2.2. Sound pressure levels with background noise correction in the room (Poziomy ciśnienia akustycznego z korekcją szumów tła w pomieszczeniu)

Frequency Częstotliwość	K ₁	Corrected sound pressure Skorygowane ciśnienie akustyczne
Hz	dB	dB
100	0,0	42,4
125	0,0	47,0
160	0,0	44,9
200	0,0	46,1
250	0,0	48,9
315	0,0	51,4
400	0,0	56,5
500	0,0	47,9
630	0,0	42,7
800	0,0	43,7
1000	0,0	43,2
1250	0,0	42,3
1600	0,0	40,1
2000	0,0	35,0
2500	0,0	34,1
3150	0,0	30,4
4000	0,0	30,2
5000	0,0	27,0
6300	0,0	28,9
8000	0,0	33,2
10000	0,0	33,4
L _p	--	59,8
L _{pa}	--	55,0

L_p: global sound pressure level (dB)

L_{pa}: A-weighted global sound pressure level (dBA)

Error B.G./Invalid: difference between sound pressure of unit under test and background noise doesn't satisfy the requirements of EN ISO 3741:2010

6.2.3. Sound power levels of reference sound source (*Poziomy mocy akustycznej referencyjnego źródła dźwięku*)

Frequency Częstotliwość	Reference sound source Referencyjne źródło dźwięku
Hz	dB
100	73,4
125	73,0
160	72,0
200	71,8
250	71,7
315	73,1
400	72,9
500	74,3
630	76,3
800	77,6
1000	78,1
1250	77,5
1600	77,3
2000	76,5
2500	74,9
3150	73,6
4000	73,0
5000	72,5
6300	72,7
8000	72,9
10000	72,3
Lw	87,9
Lwa	87,1

Lw: global sound power level (dB ref. 1 pW)

Lwa: A-weighted global sound power level (dBA)

6.2.4. Sound power levels of unit under test (*Poziom mocy akustycznej badanej pompy ciepła*)

Frequency Częstotliwość	Outdoor Unit Jednostka zewnętrzna
Hz	dB
100	49,3
125	51,1
160	49,7
200	51,6
250	52,5
315	55,5
400	60,1
500	50,7
630	45,5
800	46,4
1000	46,0
1250	44,8
1600	42,3
2000	37,4
2500	36,6
3150	33,6
4000	34,5
5000	32,5
6300	34,9
8000	40,8
10000	43,4
Lw	63,7
Lwa	58,5

Lw: global sound power level (dB ref. 1 pW)

Lwa: A-weighted global sound power level (dBA)

Invalid: difference between sound pressure of unit under test and background noise doesn't satisfy the requirements of EN ISO 3741:2010

7. SOUND POWER LEVELS SPECTRUM (SPEKTRUM POZIOMÓW MOCY AKUSTYCZNEJ)

7.1. Low temperature: Sound Power levels (Niska temperatura: poziomy mocy akustycznej)

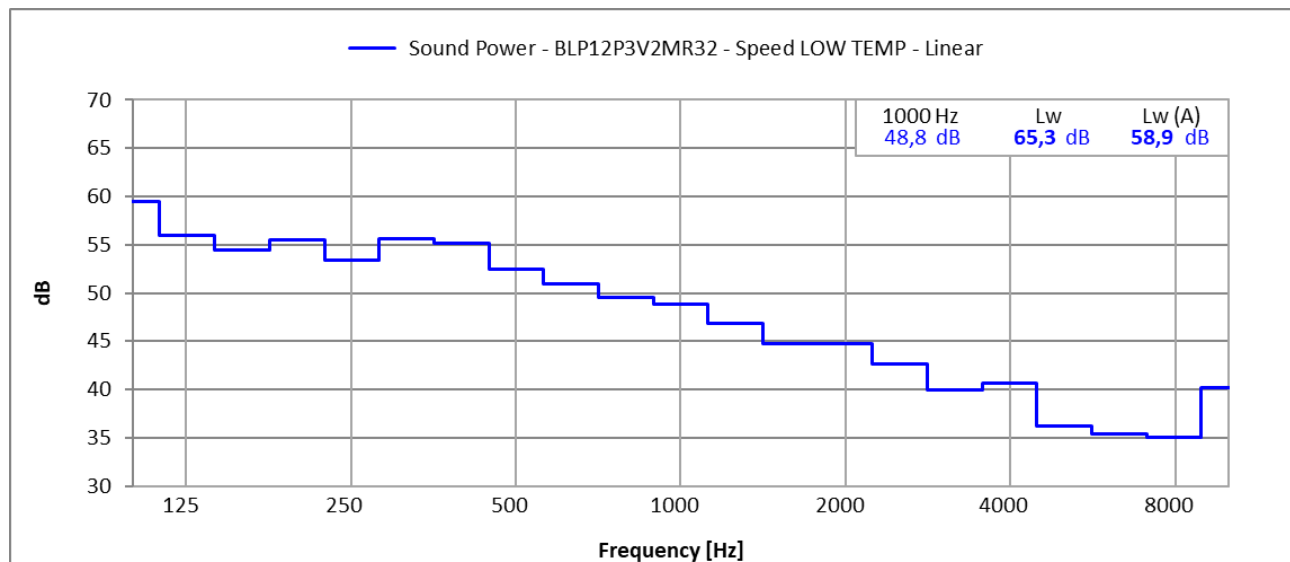


Figure 5 - Sound power levels unit spectrum (Rysunek 5 - Poziomy mocy akustycznej jednostkowe widmo)

7.2. Medium temperature: Sound Power levels (Średnia temperatura: poziomy mocy akustycznej)

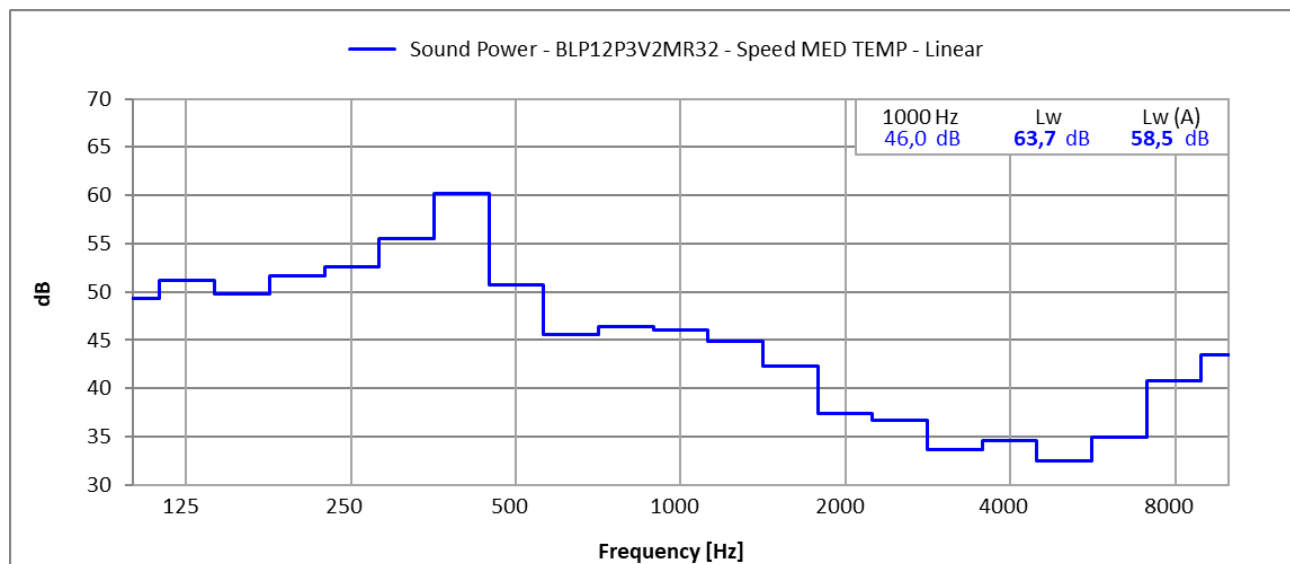


Figure 6 - Sound power levels unit spectrum (Rysunek 6 - Poziomy mocy akustycznej jednostkowe widmo)

- End of test report -
- Raport z zakończenia testu -

Tłumaczenie przysięgłe z jęz. angielskiego na jęz. polski

eurac
research



LAB N° 1785L

Raport z testów

Test pompy ciepła Blaupunkt BLP12P3V2MR32 zgodnie z normami UNI EN14511-3:2022 oraz UNI EN 14825:2022 dla zastosowań o niskiej i średniej temperaturze

Instytut Energii Odnawialnej
Laboratorium Pomp Ciepła

Klient: Hymon Fotowoltaika Sp. z o.o. ul. Dojazd 16 a 33-100 Tarnów, Polska

Numer raportu: 24/011_2.v1 **Poprawka do raportu nr. 24/011_2 z dnia 13/06/2024**

Data wydania: 03/07/2024

Autor: Inżynier Laboratorium
Fabio Bertoletti
Cyfrowo podpisany

Autoryzowane przez:

Referent jakości
Diego Menegon

Eurac Research – Instytut Energii Odnawialnej

A. Volta Straße/Via A. Volta 13/A 39100 - Bozen/Bolzano, Włochy
Tel. +39 0471 055 600 Fax +39 0471 055 699 renewable.energy@eurac.edu NIP
94032590211 NIP UE 01659400210 Rejestracja w CCIA BZ 154590

Dane zawarte w tym raporcie dotyczą wyłącznie próbek dostarczonych przez Klienta.
Niniejszy raport można odtwarzać tylko w całości; reprodukcja częściowa musi być
autoryzowana przez Eurac Research.

Raport n.24/011_2.v1

T117-HPL rapporto prova_r2, 04/08/2023

1/17



Spis treści

Podsumowanie wyników.....	3
1. Próbka testowa.....	4
2. Wykonane testy.....	5
2.1 Czynność 1 – Test w trybie ogrzewania zgodnie z normą UNI EN 14511-3:2022.....	5
2.2 Czynność 2 – Test w trybie ogrzewania zgodnie z normą UNI EN 14825:2022.....	6
3. Sprzęt testowy.....	9
4. Wyniki testów.....	10
4.1 Czynność 1 – Tryb ogrzewania jednostki A/W zgodnie z normą UNI EN 14511-3:2022 przy niskiej temperaturze.....	10
4.2 Czynność 2 – Tryb ogrzewania jednostki A/W zgodnie z normą UNI EN 14825:2022 przy niskiej temperaturze.....	12
4.3 Czynność 1 – Tryb ogrzewania jednostki A/W zgodnie z normą UNI EN 14511-3:2022 przy średniej temperaturze.....	13
4.4 Czynność 2 – Tryb ogrzewania jednostki A/W zgodnie z normą UNI EN 14825:2022 przy średniej temperaturze.....	14
5. Niepewność pomiaru.....	15
6. Weryfikacja zgodności.....	16
6.1 Zastosowane parametry decyzyjne dla niskiej temperatury.....	16
6.2 Oświadczenie o zgodności dla niskiej temperatury.....	16
6.3 Zastosowane parametry decyzyjne dla średniej temperatury.....	17
6.4 Oświadczenie o zgodności dla średniej temperatury.....	17



Zastosowane poprawki:

- Dodano „Podsumowanie wyników” na stronie 3;

Poprawki są również oznaczone na marginesie.

Podsumowanie wyników

Efektywność sezonowego ogrzewania zgodnie z normą UNI EN 14825:2022.

Model	BLP12P3V2MR32		
Numer seryjny	KRZK09A203008-503447		
Funkcja	Odwracalna		
Typologia	Monoblok A/W		
Klimat	Średni		
Zastosowanie temperatury	Średnia	Niska	
Zaprojektowana pojemność	$P_{\text{design}} / \text{kW}$	9,249	9,249
Sezonowa efektywność energetyczna ogrzewania	η_{sH}	131,8	131,8
Sezonowy współczynnik COP	SCOP	3,371	0,10
Sezonowy COP w trybie aktywnym	SCOPon	3,374	0,10
Netto sezonowy COP	SCOPnet	3,398	0,10

Weryfikacja zgodności z klasą A++ tabeli 1 rozporządzenia UE 811/2013

ID próbki	Sezonowa efektywność ogrzewania / %:	PFA*/ %	Status zgodności
BLP12P3V2MR32 - S.N.: KRZK09A203008-503447	131,8	0%	ZALICZONE

Weryfikacja zgodności z klasą A++ tabeli 2 rozporządzenia UE 811/2013

ID próbki	Sezonowa efektywność ogrzewania / %:	PFA*/ %	Status zgodności
BLP12P3V2MR32 - S.N.: KRZK09A203008-503447	175,5	40%	ZALICZONE

Rapporto di prova n.24/011_2.v1

T117-HPL rapporto prova_r2, 04/08/2023

3/17

1. Próbka testowa



Dnia 22/05/2024 klient dostarczył nr 1 jednostkę monoblokową powietrze-woda jako próbkę testową, zidentyfikowaną poniżej:

Tabela 1. Próbka testowa¹

Jednostka monoblokowa

Producent	Blaupunkt
Typ	Monoblokowa pompa ciepła powietrze-woda, rewersyjna
Model	BLP12P3V2MR32
Seria	KRZK09A203008-503447
Rok produkcji	2022
Zasilanie	400V/3Ph/50-60Hz

Czynnik chłodniczy

Typ czynnika chłodniczego	R32
Zużycie czynnika	1700 g
Ciecz robocza (dostarczona przez laboratorium):	Woda

Laboratorium przyjęło oznaczenie próbki jako 24/011_unit2.

Wyniki testów odnoszą się do próbki tak, jak została otrzymana.



2. Wykonane testy

Zlecenie testu otrzymało następujący numer porządkowy 23/092. Poniżej przedstawiono wykonane testy, które przeprowadzono w różnych dniach zgodnie z poniższą tabelą:

Tabela 2. Testy:

Nazwa	Standard	Data	Punkt	Numer identyfikacyjny testu
Wstępne działania Instalacja jednostki	UNI EN 14511-3:2022	05/06/2024	nie dotyczy	nie dotyczy
CZYNNOŚĆ 1 Nominalna wydajność w trybie grzewczym	UNI EN 14511-3:2022	06/06/2024 06/06/2024	7/35 7/55	2156 2156
CZYNNOŚĆ 2 Sezonowa wydajność w trybie grzewczym	UNI EN 14825:2022	09/06/2024	A -7/34	2159
		10/06/2024	A -7/52	2159
		12/06/2024	B 2/30	2161
		11/06/2024	B 2/42	2160
		07/06/2024	C 7/27	2157
		07/06/2024	C 7/36	2157
		07/06/2024	D 12/24	2157
		07/06/2024	D 12/30	2157
		09/06/2024	E -10/35	2159
		10/06/2024	E -10/55	2160

2.1 Czynność 1 – Test w trybie ogrzewania zgodnie z normą UNI EN 14511-3:2022

Do pomiaru zdolności grzewczej laboratorium zastosowało bezpośrednią metodę (entalpia cieczy).

Zdolność grzewcza jest obliczana według poniższego równania:

$$\Phi_{thi} = \frac{q \cdot \rho \cdot (c_{p,out} \cdot T_{out} - c_{p,in} \cdot T_{in})}{3600} \quad \text{Równanie 1}$$

Gdzie:

- Φ_{thi} jest zdolnością grzewczą wyrażoną w kW;
- q jest przepływem objętościowym wymiennika ciepła wewnętrznego wyrażonym w m^3/h ;



- p jest gęstością wyrażoną w kg/m^3 ;
- c_p jest ciepłem właściwym wyrażonym w J/kgK ;
- T jest temperaturą wyrażoną w $^\circ\text{C}$.

Właściwości termodynamiczne wody są definiowane w zależności od temperatury zgodnie z tabelami z "Perry's Chemical Engineering Handbook, 7th Edition, 1997".

Korekty zdolności grzewczej i poboru mocy uwzględniają obecność pomp cieczy i wentylatora.

Korekty dla zintegrowanych pomp cieczy są następujące:

$$corr_{P_{th}} = q \cdot \Delta p_i \cdot \frac{1 - \eta}{\eta} \quad \text{Równanie 2}$$

$$corr_{P_{el}} = \frac{q \cdot \Delta p_i}{\eta} \quad \text{Równanie 3}$$

gdzie:

- q jest przepływem objętościowym wymiennika ciepła wewnętrznego wyrażonym w m^3/h ;
- Δp_e jest różnicą ciśnienia statycznego zewnętrznego wyrażoną w Pascalach;
- η jest sprawnością pompy obliczoną zgodnie z załącznikiem F normy UNI EN 14511-3:2022.

Współczynnik wydajności jest obliczany, biorąc pod uwagę korekty:

$$COP = \frac{P_{th} + corr_{P_{th}}}{P_T + corr_{P_{el-pump}}} \quad \text{Równanie 4}$$

2.2 Czynność 2 – Test w trybie ogrzewania zgodnie z normą UNI EN 14825:2022

Sezonowa efektywność grzewcza jest obliczana zgodnie z EN 14825:2022. Sezonowa efektywność w ogrzewaniu wyrażona w procentach jest obliczana według:

$$\eta_{s,h} = \frac{1}{CC} \cdot SCOP - \sum F(i) \quad \text{Równanie 5}$$



$$SCOP = \frac{Q_H}{Q_{HE}}$$

Równanie 6

Gdzie:

- **CC** jest współczynnikiem efektywności generacji energii elektrycznej równym 2.5;
- **SCOP** jest sezonowym COP;
- **F(i)** są czynnikami korygującymi F(1)=3% dla temperatury sterowania, F(2)= 5% dla dla wody (lub solanki)
- **QH** jest referencyjnym rocznym zapotrzebowaniem na ogrzewanie wyrażonym w kWh;
- **QHE** jest rocznym zużyciem energii wyrażonym w kWh.

Referencyjne roczne zapotrzebowanie na ogrzewanie jest obliczane według:

$$Q_H = P_{design,h} \cdot H_{HE}$$

Równanie 7

Gdzie:

- **P_{design,h}** to zaprojektowane obciążenie w kW;
- **H_{HE}** to ekwiwalentne aktywne godziny ogrzewania zdefiniowane w Załączniku B normy.

Roczne zużycie energii jest obliczane jako:

$$Q_{HE} = \frac{Q_H}{SCOP_{on}} + H_{TO} \cdot P_{TO} + H_{SB} \cdot P_{SB} + H_{CK} \cdot P_{CK} + H_{OFF} \cdot P_{OFF}$$

Równanie 8

Gdzie:

- **QH** jest rocznym zapotrzebowaniem na ciepło, wyrażonym w kWh;
- **HTO, HSB, HCK, HOFF** to liczba godzin w trybie wyłączenia termostatu, trybie gotowości, trybie ogrzewania skrzynki korbowej oraz trybie wyłączenia, jak określono w Załączniku B normy;
- **P_{TO}, P_{SB}, P_{CK}, P_{OFF}** to pobory mocy wyrażone w kW;
- **SCOP_{on}** to sezonowy COP w trybie aktywnym wyrażony w kWh/kWh.

Sezonowy COP w trybie aktywnym jest obliczany według:

$$SCOP_{on} = \frac{\sum_{j=1}^n h_j \cdot [P_h(T_j)]}{\sum_{j=1}^n h_j \cdot [\frac{P_h(T_j) - elbu(T_j)}{COP_{bin}(T_j)} + elbu(T_j)]}$$

Równanie 9



$$SCOP_{net} = \frac{\sum_{j=1}^n h_j \cdot [P_h(T_j) - elbu(T_j)]}{\sum_{j=1}^n h_j \cdot [\frac{R_h(T_j) - elbu(T_j)}{COP_{bin}(T_j)}]}$$

Równanie 10

Gdzie:

- T_j to temperatura bin wyrażona w $^{\circ}\text{C}$;
- j to numer bin;
- n to łączna liczba binów;
- $P_h(T_j)$ to obciążenie grzewcze przy temperaturze T_j danego binu wyrażone w kW;
- h_j to liczba godzin danego binu przy temperaturze T_j ;
- $COP_{bin}(T_j)$ to COP danego binu przy temperaturze T_j ;
- $elbu(T_j)$ to zużycie energii rezerwowej danego binu przy temperaturze T_j .

Wartości j , T_j , h_j są zdefiniowane w załączniku B do normy

Obciążenie danego binu $P_h(T_j)$ jest obliczane jako obciążenie częściowe zaprojektowanej pojemności:

$$P_h = P_{design,h} \cdot \frac{T_j - 16}{T_{design,h} - 16}$$

Równanie 11

gdzie:

- $T_{design,h}$ to zaprojektowana temperatura (-10°C dla klimatu średniego);
- T_j jest temperaturą j -tego przedziału w $^{\circ}\text{C}$;
- $P_{design,h}$ to zaprojektowane obciążenie w kW;

Wartości COP i pojemności dla każdego binu są określone poprzez interpolację testowanych punktów zdefiniowanych w EN14825. Obciążenia częściowe są uzyskiwane z tolerancją $\pm 10\%$ poprzez modulowanie pojemności sprężarki. COPbin jest obliczany według:

$$COP_{bin} = COP_d \cdot C_d \cdot CR + (1 - C_d)$$

Równanie 12

gdzie:

- COP_d to zadeklarowany COP obliczony z pomiarów częściowych obciążzeń w warunkach A, B, C, D, E;
- CR to stosunek między pojemnością częściową a zadeklarowaną pojemnością;
- C_d to współczynnik degradacji (stosowany, jeśli $CR < 1$), C_d jest obliczany dla każdego punktu.

Rapporto di prova n.24/011_2.v1

T117-HPL rapporto prova_r2, 04/08/2023

8/17

Testy zostały przeprowadzone przy użyciu następujących instrumentów o ważnym stanie kalibracji.



Tabela 3. Sprzęt testowy:

Opis	ID
System monitorowania i kontroli laboratorium HPL	AS10002
Temperatura i wilgotność powietrza E+E Elektronik 211 Temperatura: -40:60°C Wilgotność: 0-100%	T.TC1:AS01 - ID01134 T.TC1:AS02 - ID01130 T.TC1:AS03 - ID01131 T.TC1:AS04 - ID01141
Temperatura - PT100 4 przewody – klasa 1/5 DIN -40:100°C	W.US3:TM01 - ID02037 W.US3:TM02 – ID02038
Ciśnienie różnicowe wody Endress Hauser Deltabar PMD55 ciśnienie 0-500 mbar	W.US3:PM01 – ID01174
Przepływ wody Siemens SITRANS MAG 1100 przepływ 0-10 m ³ /h	W.US3:FM01– ID02744
Virtualny analizator mocy: Verivolt Isoblock 3x LEM600	T.TC3:EM01 - ID02740 ID03039 + ID03036 + ID03037
Ciśnienie czynnika chłodzącego – Huba 520 0 - 50 bar rel	T.TC1:PM13 – ID03093 T.TC1:PM14 – ID03094
Temperatura czynnika chłodzącego - PT100 4 przewody – klasa 1/3 DIN -40:150°C	T.TC1:TM08 – ID03083 T.TC1:TM09 – ID03084 T.TC1:TM10 – ID03085
Ciśnienie otoczenia GHM GROUP – Greisinger GMUD-MP – S	E.A11:PM01 – ID02070

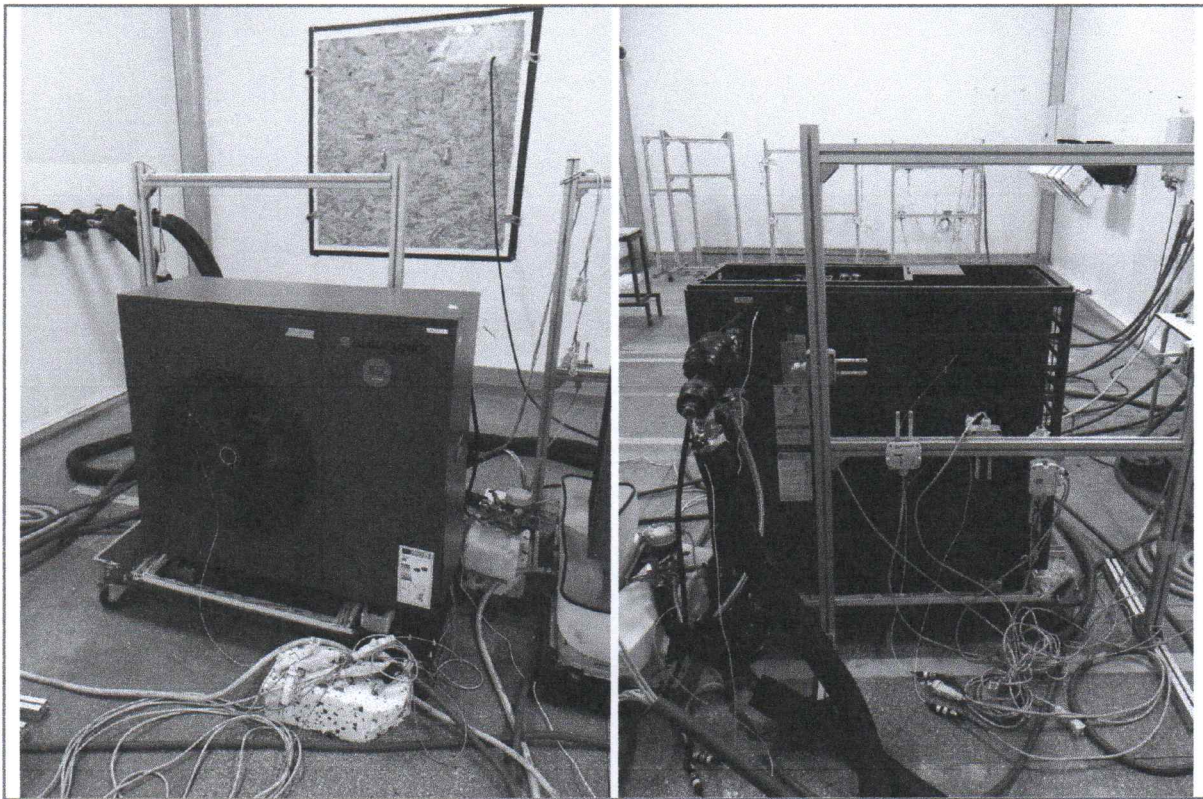
- Jednostka została zainstalowana w komorze A1 laboratorium.

Rapporto di prova n.24/011_2.v1

T117-HPL rapporto prova_r2, 04/08/2023

9/17





Rysunek 1. Montaż próbki testowej.

4. Wyniki Testów

4.1 Czynność 1 – Tryb ogrzewania jednostki A/W zgodnie z normą UNI EN 14511-3:2022 przy niskiej temperaturze

Poniższa tabela przedstawia wyniki zgodnie z UNI EN 14511-3:2022 dla punktu nominalnego oraz warunków częściowego obciążenia zdefiniowanych przez UNI EN 14825:2022.

Rapporto di prova n.24/011_2.v1

T117-HPL rapporto prova_r2, 04/08/2023

10/17



Tabela 4. Wyniki testów zgodnie z UNI EN 14511-3:2022 przy niskiej temperaturze.

		Nominalna	A	B	C	D	E
Temperatura powietrza, termometr suchy	°C	7,08	-6,96	1,76	7,06	12,03	-9,85
Temperatura powietrza, termometr mokry	°C	5,83	-7,88	1,39	6,08	10,77	-10,78
Wilgotność względna	%	83,6	76,8	84,0	87,1	86,1	72,5
Ciśnienie atmosferyczne	Pa	98710	97577	98418	98698	98623	97681
Wewnętrzny wymiennik ciepła							
Temperatura na wlocie cieczy	°C	29,99	28,64	27,26	24,21	21,05	29,77
Temperatura na wylocie cieczy	°C	34,92	33,06	29,98	26,95	24,15	33,75
Różnica temperatur	K	4,92	4,42	2,72	2,74	3,10	3,99
Przepływ	m ³ /h	1,44	1,44	1,44	1,44	1,44	1,44
Statyczna różnica ciśnień	mbar	144	144	145	146	148	144
Całkowita pojemność	kW	8,16	7,33	4,52	4,55	5,15	6,61
Korekty pompy	kW	0,03	0,03	0,03	0,03	0,03	0,03
Ilości elektryczne							
Napięcie	V	399	398	399	400	400	399
Aktualny	A	3,05	4,07	1,88	1,38	1,15	4,10
Całkowity pobór mocy elektrycznej	kW	1,74	2,39	1,05	0,75	0,61	2,39
Korekta wejścia mocy	kW	0,03	0,03	0,03	0,03	0,03	0,03
Efektywny pobór mocy elektrycznej	kW	1,77	2,42	1,08	0,79	0,64	2,42
Obieg czynnika chłodniczego							
Częstotliwość sprężarki	Hz	53	78	34	30	30	78
Ciśnienie tłoczenia	bar abs	21,85	20,49	19,22	17,81	16,57	20,83
Ciśnienie ssania	bar abs	7,99	5,18	7,02	8,52	9,54	4,86
Temperatura tłoczenia	°C	69,13	68,37	64,51	56,05	47,97	68,98
Temperatura kondensacji	°C	33,23	29,70	28,70	24,79	22,05	30,24
Temperatura parowania	°C	4,85	-7,00	0,31	5,74	9,47	-9,70
Efektywna wydajność ogrzewania	kW	8,18	7,36	4,54	4,58	5,17	6,63
COP	kW/kW	4,61	3,04	4,21	5,82	8,05	2,74
Cykle rozmrażania	#	0	3	0	0	0	3

Rapporto di prova n.24/011_2.v1

T117-HPL rapporto prova_r2, 04/08/2023



4.2 Czynność 2 – Tryb ogrzewania jednostki A/W zgodnie z normą UNI EN 14825:2022 przy niskiej temperaturze

Tabela 5. Wyniki testów zgodnie z UNI EN 14825:2022 przy niskiej temperaturze:

Model	BLP12P3V2MR32			U		
Funkcja	Odwracalna					
Typologia	A/W					
Kontrola pojemności	Zmienna					
Klimat	Średni					
Obciążenie projektowe	<i>Pdesign</i>	kW	8,316			
Sezonowa efektywność energetyczna ogrzewania pomieszczeń	η_{sH}	%	175,5%			
Sezonowy współczynnik wydajności	<i>SCOP</i>	kW/kW	4,464			
Sezonowy współczynnik wydajności trybu aktywnego	<i>SCOPon</i>	kW/kW	4,471			
Sezonowy współczynnik efektywności netto	<i>SCOPnet</i>	kW/kW	4,510			
Referencyjne roczne zapotrzebowanie na energię	<i>Q_H</i>	kWh	11110	0		
Rocznego zużycie energii na ogrzewanie	<i>Q_{HE}</i>	kWh	3849	42		
Temperatura projektowa	<i>Tdesignh</i>	°C	-10			
Temperatura biwalentna	<i>T_{biv}</i>	°C	-7			
Graniczna temperatura pracy	<i>TOL</i>	°C	-10			
Wyniki testu:						
	Częściowe obciążenie	Deklarowana wydajność	Deklarowany współczynnik COP	Cd	CR	COP przy częściowym obciążeniu
A - T_j = -7°C	7,36	7,36	3,04	1	1,00	3,04
B - T_j = 2°C	4,48	4,54	4,21	1	0,99	4,21
C - T_j = 7°C	2,88	4,58	5,82	0,99	0,63	5,75
D - T_j = 12°C	1,28	5,17	8,05	0,99	0,25	7,68
F - T_j = biwalentny	7,36	7,36	3,04	1	1,00	3,04
E - T_j = TOL	8,32	6,63	2,74	1	1,00	2,74
Pobór mocy w trybach innych niż tryb aktywny						
Tryb wyłączony		<i>P_{OFF}</i>	W	13	0,05	
Tryb wyłączenia termostatu		<i>P_{TO}</i>	W	34	0,05	
Tryb czerwienia		<i>P_{SB}</i>	W	13	0,05	
Tryb grzałki skrzyni korbowej		<i>P_{CK}</i>	W	0	0,05	
Zgłasiane niepewności reprezentują niepewności rozszerzone wyrażone na poziomie ufności w przybliżeniu 95% przy użyciu współczynnika rozszerzenia $k = 2$.						

Rapporto di prova n.24/011_2.v1

T117-HPL rapporto prova_r2, 04/08/2023



4.3 Czynność 1 – Tryb ogrzewania jednostki A/W zgodnie z normą UNI EN 14511-3:2022 przy średniej temperaturze

Poniższa tabela przedstawia wydajność zgodnie z normą UNI EN 14511-3:2022 dla punktu nominalnego i warunków obciążenia częściowego zgodnie z definicją UNI EN 14825:2022.

Tabela 6. Wyniki testów zgodnie z UNI EN 14511-3:2022 przy średniej temperaturze:

		Nominalna	A	B	C	D	E
Zewnętrzny wymiennik ciepła							
Temperatura powietrza, termometr suchy	°C	7,21	-6,83	1,90	7,07	12,08	-9,60
Temperatura powietrza, termometr mokry	°C	6,21	-8,20	0,89	6,10	10,80	-10,48
Wilgotność względna	%	87,0	66,0	83,6	87,2	86,0	74,1
Ciśnienie atmosferyczne	Pa	98822	98087	98450	98944	98624	98114
Wewnętrzny wymiennik ciepła							
Temperatura na wlocie cieczy	°C	47,01	43,29	36,96	31,42	25,03	46,41
Temperatura na wylocie cieczy	°C	55,01	51,18	41,44	35,89	29,92	53,24
Różnica temperatur	K	8,00	7,89	4,48	4,47	4,89	6,83
Przepływ	m ³ /h	0,90	0,90	0,90	0,90	0,90	0,90
Statyczna różnica ciśnień	mbar	71	71	72	73	73	71
Całkowita pojemność	kW	8,28	8,17	4,63	4,63	5,08	7,07
Korekty pompy	kW	0,01	0,01	0,01	0,01	0,01	0,01
Ilości elektryczne							
Napięcie	V	398	397	399	399	400	397
Prąd	A	4,84	5,66	2,66	1,89	1,41	5,58
Całkowity pobór mocy elektrycznej	kW	2,81	3,40	1,49	1,04	0,76	3,41
Korekta wejścia mocy	kW	0,01	0,01	0,01	0,01	0,01	0,01
Efektywny pobór mocy elektrycznej	kW	2,82	3,42	1,51	1,06	0,77	3,42
Obieg czynnika chłodniczego							
Częstotliwość sprężarki	Hz	53	78	37	30	30	78
Ciśnienie tłoczenia	bar abs	34,04	31,12	25,17	22,13	19,07	32,24
Ciśnienie ssania	/bar abs	8,30	5,22	7,41	8,60	9,62	5,12
Temperatura tłoczenia	°C	87,69	84,99	73,31	68,28	57,93	87,22
Temperatura kondensacji	°C	51,67	46,68	38,66	33,96	27,00	47,80
Temperatura parowania	°C	5,76	-6,97	1,58	6,31	9,86	-8,23
Efektywna wydajność ogrzewania	kW	8,30	8,18	4,64	4,65	5,09	7,08
COP	kW/kW	2,94	2,40	3,08	4,40	6,58	2,07
Cykle rozmrażania	#	0	1	1	0	0	3

Rapporto di prova n.24/011_2.v1

T117-HPL rapporto prova_r2, 04/08/2023



4.4 Czynność 2 – Tryb ogrzewania jednostki A/W zgodnie z normą UNI EN 14825:2022 przy średniej temperaturze

Tabela 7. Wyniki testów zgodnie z UNI EN 14825:2022 przy średniej temperaturze:

Model	BLP12P3V2MR32			U	
Funkcja	Odwracalna				
Typologia	A/W				
Kontrola pojemności	Zmienna				
Klimat	Przeciętny				
Obciążenie projektowe	P _{design}	kW	9,249		
Sezonowa efektywność energetyczna ogrzewania pomieszczeń	η _{sH}	%	131,8%	4,3%	
Sezonowy współczynnik wydajności	SCOP	kW/kW	3,371	0,109	
Sezonowy współczynnik wydajności trybu aktywnego	SCOP _{on}	kW/kW	3,374	0,109	
Sezonowy współczynnik efektywności netto	SCOP _{net}	kW/kW	3,398	0,109	
Referencyjne roczne zapotrzebowanie na energię	Q _H	kWh	12357	0	
Rocznego zużycie energii na ogrzewanie	Q _{HE}	kWh	5669	91	
Temperatura projektowa	T _{designh}	°C	-10		
Temperatura biwalentna	T _{biv}	°C	-7		
Graniczna temperatura pracy	TOL	°C	-10		

Wyniki testu:

	Częściowe obciążenie	Deklarowana wydajność	Deklarowany współczynnik COP	Cd	CR	COP przy częściowym obciążeniu
A - T _j = -7°C	8,18	8,18	2,40	1	1,00	2,40
B - T _j = 2°C	4,98	4,64	3,08	1	1,00	3,08
C - T _j = 7°C	3,20	4,65	4,40	0,99	0,69	4,35
D - T _j = 12°C	1,42	5,09	6,58	0,99	0,28	6,31
F - T _j = bivalent	8,18	8,18	2,40	1	1,00	2,40
E - T _j = TOL	9,25	7,08	2,07	1	1,00	2,07

Pobór mocy w trybach innych niż tryb aktywny

Tryb wyłączony	P _{OFF}	W	13	0,05
Tryb wyłączenia termostatu	P _{TO}	W	34	0,05
Tryb czuwania	P _{SB}	W	13	0,05
Tryb grzałki skrzyni korbowej	P _{CCK}	W	0	0,05

Zgłasiane niepewności reprezentują niepewności rozszerzone wyrażone na poziomie ufności w przybliżeniu 95% przy użyciu współczynnika rozszerzenia k = 2.



5 Niepewność pomiarów

Wartości niepewności wyników są wyrażone z poziomem ufności około 95% przy użyciu współczynnika pokrycia $k=2$, zgodnie ze wskazaniem w Tabelce.

Tabela 8. Wartości niepewności pomiarów

Pomiar	Niepewność
Temperatura na wlocie płynu	0,10 °C
Temperatura na wylocie płynu	0,10 °C
Różnica temperatur płynu	0,14 K
Objętościowe natężenie przepływu płynu	1%
Wewnętrzna różnica ciśnień statycznych płynu	5 mbar
Presja środowiska	100 Pa
Temperatura powietrza, termometr suchy	0,2 °C
Temperatura powietrza, termometr mokry	0,3 °C
Aktualny	0,2%
Napięcie	0,2%
Energia elektryczna	0,5%



6. Weryfikacja zgodności

6.1 Zastosowane parametry decyzyjne dla niskiej temperatury

Weryfikacja zgodności dla aplikacji o niskiej temperaturze uwzględnia granice Tabeli 2 rozporządzenia UE 811/2013 dla klasy A+++

Tabela 2

Klasy sezonowej efektywności energetycznej ogrzewania pomieszczeń dla niskotemperaturowych pomp ciepła i ogrzewaczy pomieszczeń z pompą ciepła do zastosowań niskotemperaturowych

Klasy sezonowej efektywności energetycznej ogrzewania pomieszczeń	Klasy sezonowej efektywności energetycznej ogrzewania pomieszczeń n_s w %
A+++	$\eta_s \geq 175$
A++	$150 \leq \eta_s < 175$
A+	$123 \leq \eta_s < 150$
A	$115 \leq \eta_s < 123$
B	$107 \leq \eta_s < 115$
C	$100 \leq \eta_s < 107$
D	$61 \leq \eta_s < 100$
E	$59 \leq \eta_s < 61$
F	$55 \leq \eta_s < 59$
G	$\eta_s < 55$

Źródło: Reg. UE 811/2013.

- Klasa A+++
- Obszar specyfikacji: jednostronny z dolnym limitem 175%
- Akceptowany poziom ryzyka: 50%
- Zasada decyzyjna: binarna

6.2 Oświadczenie o zgodności dla niskiej temperatury

ID próbki	Sezonowa efektywność ogrzewania / %:	PFA*/ %:	Status zgodności:
BLP12P3V2MR32 - S.N.: KRZK09A203008-503447	175,5	40%	ZALICZONE

Rapporto di prova n.24/011_2.v1

T117-HPL rapporto prova_r2, 04/08/2023



6.3 Zastosowane parametry decyzyjne dla średniej temperatury

Weryfikacja zgodności dla aplikacji o średniej temperaturze uwzględnia granice Tabeli 1 rozporządzenia UE 811/2013 dla klasy A++.

Tabela 1

Klasy sezonowej efektywności energetycznej ogrzewania pomieszczeń dla grzejników, z wyjątkiem niskotemperaturowych pomp ciepła i ogrzewaczy pomieszczeń z pompą ciepła do zastosowań niskotemperaturowych

Klasy sezonowej efektywności energetycznej ogrzewania pomieszczeń	Klasy sezonowej efektywności energetycznej ogrzewania pomieszczeń η_s w %
A+++	$\eta_s \geq 150$
A++	$125 \leq \eta_s < 150$
A+	$98 \leq \eta_s < 125$
A	$90 \leq \eta_s < 98$
B	$82 \leq \eta_s < 90$
C	$75 \leq \eta_s < 82$
D	$36 \leq \eta_s < 75$
E	$34 \leq \eta_s < 36$
F	$30 \leq \eta_s < 34$
G	$\eta_s < 30$

Źródło: Reg. UE 811/2013.

- Klasa A++
- Obszar specyfikacji: dwustronny 125 - 150%
- Akceptowany poziom ryzyka: 50%
- Zasada decyzyjna: binarna

6.4 Oświadczenie o zgodności dla średniej temperatury

ID próbki	Sezonowa efektywność ogrzewania / %:	PFA*/ %:	Status zgodności:
BLP12P3V2MR32 - S.N.: KRZK09A203008-503447	131,8	0%	ZALICZONE

¹ Dane identyfikacyjne dostarczone przez klienta, za które Laboratorium nie ponosi odpowiedzialności.

* PFA: Prawdopodobieństwo fałszywej akceptacji

Rapporto di prova n.24/011_2.v1

T117-HPL rapporto prova_r2, 04/08/2023

17/17

Nr rep. 1649/24

Stwierdzam zgodność powyższego przekładu z oryginałem

Tytułem wynagrodzenia pobrano -

Augustów, dnia: 23.07.2024 r.

Tłumacz przysięgły języka angielskiego – mgr Piotr Szlaużyś (nr TP/4453/05)



Test report

Test on Blaupunkt BLP12P3V2MR32 heat pump according to UNI EN14511-3:2022 and UNI EN 14825:2022 for low and medium temperature applications

Institute for Renewable Energy
Heat Pump Lab

Customer:
Hymon Fotowoltaika Sp. z o.o.
ul. Dojazd 16 a
33-100 Tarnów
Poland

Report n.
24/011_2

Issued on:
13/06/2024

Written by:
Laboratory Engineer

Fabio Bertoletti

Authorised by:
Quality Referent

Diego Menegon

Digitally signed

Eurac Research – Institute for Renewable Energy
A. Volta Straße/Via A. Volta 13/A, 39100 - Bozen/Bolzano, Italy
Tel +39 0471 055 600 Fax +39 0471 055 699 renewable.energy@eurac.edu
TIN 94032590211 VAT 01659400210 Registration at CCIA BZ 154590

The data contained in this test report refer exclusively to the samples as delivered by the Customer.
This report may only be reproduced in its entirety; partial reproduction must be authorised by Eurac Research.

Report n. 24/011_2
T117-HPL rapporto prova_r2, 04/08/2023

1/16

Contents

1 Test sample	3
2 Performed tests	4
2.1 Activity 1 – Test in heating mode according to UNI EN 14511-3:2022	4
2.2 Activity 2 – Test in heating mode according to UNI EN 14825:2022	5
3 Test equipment	8
4 Test Results	9
4.1 Activity 1 – Heating mode A/W unit according to UNI EN 14511-3:2022 at low temperature application	9
4.2 Activity 2 – Heating mode A/W unit according to UNI EN 14825:2022 at low temperature application	11
4.3 Activity 1 – Heating mode A/W unit according to UNI EN 14511-3:2022 at medium temperature application	12
4.4 Activity 2 – Heating mode A/W unit according to UNI EN 14825:2022 at medium temperature application	13
5 Measurement Uncertainty	14
6 Conformity verification	15
6.1 Applied decision parameters for low temperature	15
6.2 Conformity statement for low temperature	15
6.3 Applied decision parameters for medium temperature	16
6.4 Conformity statement for medium temperature	16

1 Test sample

On 22/05/2024 the Customer delivered nr. 1 monobloc air-to-water heat pump as identified below:

Table 1. Test sample¹

Monobloc unit

Manufacturer	Blaupunkt
Type	Monobloc reversible air-to-water heat pump
Model	BLP12P3V2MR32
Serial	KRZK09A203008-503447
Production year	2022
Power supply	400V/3Ph/50-60Hz

Refrigerant

Type of refrigerant	R32
Refrigerant charge	1700 g
Working fluid (provided by Laboratory)	Water

The laboratory proceeded to identify the sample with the identifier 24/011_unit2.

Test results apply to the sample as received.

2 Performed tests

The requested test has been assigned the following order number 23/092. The following tests were carried out.

The tests were executed in different days according to the following Table.

Table 2. Tests.

Denomination	Standard	Date	Point	Identification number of test
Preliminary activities Unit installation	UNI EN 14511-3:2022	05/06/2024	N.A.	N.A.
ACTIVITY 1 Nominal performance in heating mode	UNI EN 14511-3:2022	06/06/2024 06/06/2024	7/35 7/55	2156 2156
ACTIVITY 2 Seasonal performance in heating mode	UNI EN 14825:2022	09/06/2024 10/06/2024	A -7/34 A -7/52	2159 2159
		12/06/2024 11/06/2024	B 2/30 B 2/42	2161 2160
		07/06/2024 07/06/2024	C 7/27 C 7/36	2157 2157
		07/06/2024 07/06/2024	D 12/24 D 12/30	2157 2157
		09/06/2024 10/06/2024	E -10/35 E -10/55	2159 2160

2.1 Activity 1 – Test in heating mode according to UNI EN 14511-3:2022

For the measurement of the heating capacity the laboratory applied the direct method (liquid enthalpy).

The heating capacity is calculated according to the following equation:

$$\Phi_{thi} = \frac{q \cdot \rho \cdot (c_{p,out} \cdot T_{out} - c_{p,in} \cdot T_{in})}{3600}$$

Equation 1

Where:

- Φ_{thi} is the heating capacity, expressed in kW;
- q is the volumetric flow of the internal heat exchanger, expressed in m³/h;

- ρ is the density, expressed in kg/m³;
- c_p is the specific heat, expressed in J/kgK;
- T is the temperature, expressed in °C.

The thermodynamic properties of the water are defined as a function of the temperature according to the tables of the “Perry’s Chemical Engineering Handbook, 7th Edition, 1997”.

The heating capacity and the power input are corrected to consider the presence of the liquid pumps and the fan.

The corrections for the integrated liquid pumps are:

$$corr_{P_{th}} = q \cdot \Delta p_i \cdot \frac{1 - \eta}{\eta} \quad \text{Equation 2}$$

$$corr_{P_{el}} = \frac{q \cdot \Delta p_i}{\eta} \quad \text{Equation 3}$$

where:

- q is the volumetric flow of the internal heat exchanger, expressed in m³/h;
- ΔP_e is the internal static pressure difference, expressed in Pascal;
- η is the efficiency of the pump calculated according to Annex F of UNI EN 14511-3:2022.

The coefficient of performance is calculated considering the corrections:

$$COP = \frac{P_{th} + corr_{P_{th}}}{P_T + corr_{P_{el-pump}}} \quad \text{Equation 4}$$

2.2 Activity 2 – Test in heating mode according to UNI EN 14825:2022

The seasonal heating efficiency is calculated according to EN 14825:2022. The seasonal efficiency in heating, expressed in % is calculated according to:

$$\eta_{s,h} = \frac{1}{CC} \cdot SCOP - \sum F(i) \quad \text{Equation 5}$$

$$SCOP = \frac{Q_H}{Q_{HE}}$$

Equation 6

Where:

- CC is the coefficient for electricity generation efficiency, equal to 2.5;
- SCOP is the seasonal COP;
- F(i) are the correction factors, F(1) = 3% for the control temperature, (F2) = 5% for the water (or brine) source;
- Q_H is the reference annual heating demand, expressed in kWh;
- Q_{HE} is the annual energy consumption, expressed in kWh.

The reference annual heating demand is calculated according to:

$$Q_H = P_{design,h} \cdot H_{HE}$$

Equation 7

Where:

- $P_{design,h}$ is the design load, in kW;
- H_{HE} is the equivalent active mode hours for heating; defined in the Annex B of the standard.

The annual energy consumption is calculated as:

$$Q_{HE} = \frac{Q_H}{SCOP_{on}} + H_{TO} \cdot P_{TO} + H_{SB} \cdot P_{SB} + H_{CK} \cdot P_{CK} + H_{OFF} \cdot P_{OFF}$$

Equation 8

Where:

- Q_H is the reference annual heating demand, expressed in kWh;
- $H_{TO}, H_{SB}, H_{CK}, H_{OFF}$ are the number of hours in the thermostat off mode, standby mode, crankcase heater mode e off mode as specified in the Annex B of the standard;
- $P_{TO}, P_{SB}, P_{CK}, P_{OFF}$ are the power inputs, expressed in kW;
- $SCOP_{on}$ is the seasonal COP in active mode, expressed in kWh/kWh.

The seasonal COP in active mode is calculated according to:

$$SCOP_{on} = \frac{\sum_{j=1}^n h_j \cdot [P_h(T_j)]}{\sum_{j=1}^n h_j \cdot \left[\frac{P_h(T_j) - elbu(T_j)}{COP_{bin}(T_j)} + elbu(T_j) \right]}$$

Equation 9

$$SCOP_{net} = \frac{\sum_{j=1}^n h_j \cdot [P_h(T_j) - elbu(T_j)]}{\sum_{j=1}^n h_j \cdot \left[\frac{P_h(T_j) - elbu(T_j)}{COP_{bin}(T_j)} \right]}$$

Equation 10

Where:

- T_j is the bin temperature, expressed in °C;
- j is the number of bin;
- n is the total number of bins;
- $P_h(T_j)$ is the heating load at the T_j temperature of the j-th bin, expressed in kW;
- h_j is the number of hours of the j-th bin at the temperature T_j ;
- $COP_{bin}(T_j)$ is the COP of the j-th bin at the temperature T_j ;
- $elbu(T_j)$ is the backup consumption of the j-th bin at the temperature T_j .

The values of j , T_j , h_j are defined in the Annex B of the standard.

The load of the j-th bin, $P_h(T_j)$ is calculated as part load condition of the design capacity:

$$P_h = P_{design,h} \cdot \frac{T_j - 16}{T_{design,h} - 16}$$

Equation 11

where:

- $T_{design,h}$ is the design temperature (-10°C for the average climate);
- T_j is the temperature of the j-th bin, in °C;
- $P_{design,h}$ is the design load, in kW;

The values of COP and capacity are defined for each bin by interpolation of the tested points defined in EN14825. The part loads are obtained with a tolerance of ±10% by modulating the compressor capacity. The COPbin is calculated according to:

$$COP_{bin} = COP_d \cdot \frac{CR}{C_d \cdot CR + (1 - C_d)}$$

Equation 12

where:

- COPd is the declared COP calculated from the part load measurements in the conditions A, B, C, D, E;
- CR is the ratio between the part load capacity and the declared capacity;
- Cd is the degradation coefficient (applied if CR<1), Cd is calculated for each point.

3 Test equipment

The tests have been performed using the following instruments with valid calibration state.

Table 3. Test equipment.

Description	ID
Laboratory HPL Monitoring and Control System	AS10002
Air temperature and humidity E+E Elektronik 211 Temperature: -40:60°C Humidity: 0-100%	T.TC1:AS01 - ID01134 T.TC1:AS02 - ID01130 T.TC1:AS03 - ID01131 T.TC1:AS04 - ID01141
Temprature - PT100 4 wires – class 1/5 DIN -40:100°C	W.US3:TM01 - ID02037 W.US3:TM02 - ID02038
Water differential pressure Endress Hauser Deltabar PMD55 pressure 0-500 mbar	W.US3:PM01 – ID01174
Water Flow rate Siemens SITRANS MAG 1100 flow 0-10 m ³ /h	W.US3:FM01– ID02744
Virtual Power Analyser: Verivolt Isoblock 3x LEM600	T.TC3:EM01 - ID02740 ID03039 + ID03036 + ID03037
Refrigerant pressure – Huba 520 0 - 50 bar rel	T.TC1:PM13 – ID03093 T.TC1:PM14 – ID03094
Refrigerant temperature - PT100 4 wires – class 1/3 DIN -40:150°C	T.TC1:TM08 – ID03083 T.TC1:TM09 – ID03084 T.TC1:TM10 – ID03085
Ambient pressure GHM GROUP – Greisinger GMUD-MP – S	E.A11:PM01 – ID02070

The unit has been installed in the chamber A1 of the laboratory.



Figure 1. Installation of the test sample.

4 Test Results

4.1 Activity 1 – Heating mode A/W unit according to UNI EN 14511-3:2022 at low temperature application

The following table presents the performance according to UNI EN 14511-3:2022 for the nominal point and for the part load conditions as defined by UNI EN 14825:2022.

Table 4. Test results according to UNI EN 14511-3:2022 at low temperature application.

		Nominal	A	B	C	D	E
Air temperature, dry bulb	°C	7.08	-6.96	1.76	7.06	12.03	-9.85
Air temperature, wet bulb	°C	5.83	-7.88	1.39	6.08	10.77	-10.78
Relative humidity	%	83.6	76.8	84.0	87.1	86.1	72.5
Atmospheric pressure	Pa	98710	97577	98418	98698	98623	97681
Indoor heat exchanger							
Liquid inlet temperature	°C	29.99	28.64	27.26	24.21	21.05	29.77
Liquid outlet temperature	°C	34.92	33.06	29.98	26.95	24.15	33.75
Temperature difference	K	4.92	4.42	2.72	2.74	3.10	3.99
Flow rate	m ³ /h	1.44	1.44	1.44	1.44	1.44	1.44
Static pressure difference	mbar	144	144	145	146	148	144
Total capacity	kW	8.16	7.33	4.52	4.55	5.15	6.61
Pump corrections	kW	0.03	0.03	0.03	0.03	0.03	0.03
Electrical Quantities							
Voltage	V	399	398	399	400	400	399
Current	A	3.05	4.07	1.88	1.38	1.15	4.10
Total eletrical power input	kW	1.74	2.39	1.05	0.75	0.61	2.39
Power input correction	kW	0.03	0.03	0.03	0.03	0.03	0.03
Effective electrical power input	kW	1.77	2.42	1.08	0.79	0.64	2.42
Refrigerant circuit							
Compressor frequency	Hz	53	78	34	30	30	78
Discharge pressure	bar abs	21.85	20.49	19.22	17.81	16.57	20.83
Suction pressure	bar abs	7.99	5.18	7.02	8.52	9.54	4.86
Discharge temperature	°C	69.13	68.37	64.51	56.05	47.97	68.98
Condensation temperature	°C	33.23	29.70	28.70	24.79	22.05	30.24
Evaporation temperature	°C	4.85	-7.00	0.31	5.74	9.47	-9.70
Effective capacity in heating	kW	8.18	7.36	4.54	4.58	5.17	6.63
COP	kW/kW	4.61	3.04	4.21	5.82	8.05	2.74
Defrost cycles	#	0	3	0	0	0	3

4.2 Activity 2 – Heating mode A/W unit according to UNI EN 14825:2022 at low temperature application

Table 5. Test results according to UNI EN 14825:2022 at low temperature application.

Model		BLP12P3V2MR32			U	
Function		Reversible				
Typology		A/W				
Capacity control		Variable				
Climate		Average				
Design load		P _{design}	kW	8.316		
Seasonal space heating energy efficiency		η _{SH}	%	175.5%	3.9%	
Seasonal coefficient of performance		SCOP	kW/kW	4.464	0.098	
Active mode seasonal coefficient of performance		SCOP _{on}	kW/kW	4.471	0.098	
Net seasonal coefficient of performance		SCOP _{net}	kW/kW	4.510	0.098	
Reference annual energy demand		Q _H	kWh	11110	0	
Annual energy consumption for heating		Q _{HE}	kWh	3849	42	
Design temperature		T _{designh}	°C	-10		
Bivalent temperature		T _{biv}	°C	-7		
Operation limit temperature		TOL	°C	-10		
Test results:						
	Part load	Declared capacity	Declared COP	Cd	CR	
A - T _j = -7°C	7.36	7.36	3.04	1	1.00	
B - T _j = 2°C	4.48	4.54	4.21	1	0.99	
C - T _j = 7°C	2.88	4.58	5.82	0.99	0.63	
D - T _j = 12°C	1.28	5.17	8.05	0.99	0.25	
F - T _j = bivalent	7.36	7.36	3.04	1	1.00	
E - T _j = TOL	8.32	6.63	2.74	1	1.00	
G - T _j = -15°C	0.0	0	0	1	#DIV/0!	
Power input in modes other than active mode						
Off mode		P _{OFF}	W	13	0.05	
Thermostat-off mode		P _{TO}	W	34	0.05	
Standby mode		P _{SB}	W	13	0.05	
Crankcase heater mode		P _{CK}	W	0	0.05	
<i>Reported uncertainties represent expanded uncertainties expressed at approximately the 95% confidence level using a coverage factor of k = 2 .</i>						

4.3 Activity 1 – Heating mode A/W unit according to UNI EN 14511-3:2022 at medium temperature application

The following table presents the performance according to UNI EN 14511-3:2022 for the nominal point and for the part load conditions as defined by UNI EN 14825:2022.

Table 6. Test results according to UNI EN 14511-3:2022 at medium temperature application.

		Nominal	A	B	C	D	E
Air temperature, dry bulb	°C	7.21	-6.83	1.90	7.07	12.08	-9.60
Air temperature, wet bulb	°C	6.21	-8.20	0.89	6.10	10.80	-10.48
Relative humidity	%	87.0	66.0	83.6	87.2	86.0	74.1
Atmospheric pressure	Pa	98822	98087	98450	98944	98624	98114
Indoor heat exchanger							
Liquid inlet temperature	°C	47.01	43.29	36.96	31.42	25.03	46.41
Liquid outlet temperature	°C	55.01	51.18	41.44	35.89	29.92	53.24
Temperature difference	K	8.00	7.89	4.48	4.47	4.89	6.83
Flow rate	m ³ /h	0.90	0.90	0.90	0.90	0.90	0.90
Static pressure difference	mbar	71	71	72	73	73	71
Total capacity	kW	8.28	8.17	4.63	4.63	5.08	7.07
Pump corrections	kW	0.01	0.01	0.01	0.01	0.01	0.01
Electrical Quantities							
Voltage	V	398	397	399	399	400	397
Current	A	4.84	5.66	2.66	1.89	1.41	5.58
Total electrical power input	kW	2.81	3.40	1.49	1.04	0.76	3.41
Power input correction	kW	0.01	0.01	0.01	0.01	0.01	0.01
Effective electrical power input	kW	2.82	3.42	1.51	1.06	0.77	3.42
Refrigerant circuit							
Compressor frequency	Hz	53	78	37	30	30	78
Discharge pressure	bar abs	34.04	31.12	25.17	22.13	19.07	32.24
Suction pressure	bar abs	8.30	5.22	7.41	8.60	9.62	5.12
Discharge temperature	°C	87.69	84.99	73.31	68.28	57.93	87.22
Condensation temperature	°C	51.67	46.68	38.66	33.96	27.00	47.80
Evaporation temperature	°C	5.76	-6.97	1.58	6.31	9.86	-8.23
Effective capacity in heating	kW	8.30	8.18	4.64	4.65	5.09	7.08
COP	kW/kW	2.94	2.40	3.08	4.40	6.58	2.07
Defrost cycles	#	0	1	1	0	0	3

4.4 Activity 2 –Heating mode A/W unit according to UNI EN 14825:2022 at medium temperature application

Table 7. Test results according to UNI EN 14825:2022 at medium temperature application.

Model	BLP12P3V2MR32				U	
Function	Reversible					
Typology	A/W					
Capacity control	Variable					
Climate	Average					
Design load	<i>P_{design}</i>	kW	9.249			
Seasonal space heating energy efficiency	η_{SH}	%	131.8%	4.3%		
Seasonal coefficient of performance	<i>SCOP</i>	kW/kW	3.371	0.109		
Active mode seasonal coefficient of performance	<i>SCOP_{on}</i>	kW/kW	3.374	0.109		
Net seasonal coefficient of performance	<i>SCOP_{net}</i>	kW/kW	3.398	0.109		
Reference annual energy demand	<i>Q_H</i>	kWh	12357	0		
Annual energy consumption for heating	<i>Q_{HE}</i>	kWh	5669	91		
Design temperature	<i>T_{designh}</i>	°C	-10			
Bivalent temperature	<i>T_{biv}</i>	°C	-7			
Operation limit temperature	<i>TOL</i>	°C	-10			
Test results:						
	Part load	Declared capacity	Declared COP	Cd	CR	COP at part load
A - T_j = -7°C	8.18	8.18	2.40	1	1.00	2.40
B - T_j = 2°C	4.98	4.64	3.08	1	1.00	3.08
C - T_j = 7°C	3.20	4.65	4.40	0.99	0.69	4.35
D - T_j = 12°C	1.42	5.09	6.58	0.99	0.28	6.31
F - T_j = bivalent	8.18	8.18	2.40	1	1.00	2.40
E - T_j = TOL	9.25	7.08	2.07	1	1.00	2.07
Power input in modes other than active mode						
Off mode		<i>P_{OFF}</i>	W		13	0.05
Thermostat-off mode		<i>P_{TO}</i>	W		34	0.05
Standby mode		<i>P_{SB}</i>	W		13	0.05
Crankcase heater mode		<i>P_{CK}</i>	W		0	0.05
<i>Reported uncertainties represent expanded uncertainties expressed at approximately the 95% confidence level using a coverage factor of k = 2.</i>						

5 Measurement Uncertainty

The uncertainty values of the results are expressed with a level of confidence of approximately 95% using a coverage factor k=2, as indicated in the Table.

Table 8. Uncertainty values of measurements

Measurements	Uncertainty
Fluid inlet temperature	0.10 °C
Fluid outlet temperature	0.10 °C
Fluid Temperature difference	0.14 K
Fluid volumetric flow rate	1%
Fluid internal static pressure difference	5 mbar
Environmental pressure	100 Pa
Air temperature, dry bulb	0.2 °C
Air temperature, wet bulb	0.3 °C
Current	0.2%
Voltage	0.2%
Electric power	0.5%

6 Conformity verification

6.1 Applied decision parameters for low temperature

The conformity verification for low temperature application considers the limits of Table 2 of reg. EU 811/2013 for the class A+++

Table 2

Seasonal space heating energy efficiency classes of low-temperature heat pumps and heat pump space heaters for low-temperature application

Seasonal space heating energy efficiency class	Seasonal space heating energy efficiency η_s in %
A+++	$\eta_s \geq 175$
A++	$150 \leq \eta_s < 175$
A ⁺	$123 \leq \eta_s < 150$
A	$115 \leq \eta_s < 123$
B	$107 \leq \eta_s < 115$
C	$100 \leq \eta_s < 107$
D	$61 \leq \eta_s < 100$
E	$59 \leq \eta_s < 61$
F	$55 \leq \eta_s < 59$
G	$\eta_s < 55$

Source: Reg. EU 811/2013.

- Class A+++
- Specification area: unilateral with lower limit 175 %
- Accepted level of risk: 50%
- Decision rule: binary

6.2 Conformity statement for low temperature

ID Sample	Seasonal heating efficiency / %	PFA* / %	Conformity status
BLP12P3V2MR32 - S.N.: KRZK09A203008-503447	175.5	40%	PASS

6.3 Applied decision parameters for medium temperature

The conformity verification for medium temperature application considers the limits of Table 1 of reg. EU 811/2013 for the class A++.

Table 1

Seasonal space heating energy efficiency classes of heaters, with the exception of low-temperature heat pumps and heat pump space heaters for low-temperature application

Seasonal space heating energy efficiency class	Seasonal space heating energy efficiency η_s in %
A ⁺⁺⁺	$\eta_s \geq 150$
A ⁺⁺	$125 \leq \eta_s < 150$
A ⁺	$98 \leq \eta_s < 125$
A	$90 \leq \eta_s < 98$
B	$82 \leq \eta_s < 90$
C	$75 \leq \eta_s < 82$
D	$36 \leq \eta_s < 75$
E	$34 \leq \eta_s < 36$
F	$30 \leq \eta_s < 34$
G	$\eta_s < 30$

Source: Reg. EU 811/2013.

- Class A++
- Specification area: bilateral 125 - 150 %
- Accepted level of risk: 50%
- Decision rule: binary

6.4 Conformity statement for medium temperature

ID Sample	Seasonal heating efficiency / %	PFA* / %	Conformity status
BLP12P3V2MR32 - S.N.: KRZK09A203008-503447	131.8	0%	PASS

¹ Identify information provided by client, for which the Laboratory declines responsibility.

* PFA: Probability of False Acceptance